

공침법에 의한 $Ba_2Ti_9O_{20}$ 합성과 ZrO_2 첨가효과에 관한 연구

이병하 · 이경희 · 이현식 · 전성용

명지대학교 무기재료공학과

(1993년 8월 6일 접수)

A Study on Synthesis of $Ba_2Ti_9O_{20}$ by Coprecipitation Process and the Effect of ZrO_2 Addition

Byung-Ha Lee, Kyung Hee Lee, Hun-Sik Lee and Seong-Yong Chun

Dept. of Inorganic Materials Eng. Myong Ji Univ.

(Received August 6, 1993)

요 약

본 연구는 단일상의 $Ba_2Ti_9O_{20}$ 을 증전의 다른 연구보다 저온에서 얻기 위해 $Ba_2Ti_9O_{20}$ 의 일부 Ti에 대한 Zr의 치환에 대해 연구하였다. $Ba_2(Ti_{1-x}Zr_x)_9O_{20}$ 의 4가지 조성($x=0, 0.028, 0.048, 0.068$)의 화합물은 $BaCl_2$, $TiCl_4$ 및 $ZrOCl_2$ 의 수용액에 $(NH_4)_2CO_3$ 와 NH_4OH 를 침전제와 pH 조절제로 사용하여 공침반응법에 의해 제조하였다. 그 결과 ZrO_2 를 4.8 mol%로 치환한 경우에는 1150°C에서 단일상의 $Ba_2Ti_9O_{20}$ 를 얻을 수 있었으며, 또한 높은 Q값을 나타내었다.

ABSTRACT

To obtain a single phase of $Ba_2Ti_9O_{20}$ at lower temperature than previous other researches, We investigated the effect of Zr substitution for predetermined portions of Ti in $Ba_2Ti_9O_{20}$. In this study, the four compounds($x=0, 0.028, 0.048, 0.068$) of $Ba_2(Ti_{1-x}Zr_x)_9O_{20}$ were prepared by coprecipitation reaction of $BaCl_2$, $TiCl_4$ and $ZrOCl_2$ with $(NH_4)_2CO_3$ and NH_4OH as the coprecipitating agents and pH regulators, in aqueous solution. Owing to 4.8 mol% addition, the single phase of $Ba_2Ti_9O_{20}$ showing high Q was obtained at 1150°C which is lower by 250°C than the temperature in case of mechanical mixtures of $BaCO_3$ and TiO_2 .

1. 서 론

최근 전자공업의 비약적인 발전과 더불어 정보문명의 진전에 따라 통신정보량이 증대하여 이에 소요되는 각종 소재가 날로 소형화, 정밀화 및 고성능화되어 가고 있는 실정이다. 따라서, 수 많은 마이크로파 유전체가 개발되어지고 있지만 그 기분이 되는 것은 $BaO-TiO_2$ 계의 Ti-Rich 영역에 있는 $BaTi_4O_9$ 및 $Ba_2Ti_9O_{20}$ 이다. 이 2가지 유전체 세라믹스의 유전특성¹⁾ 및 기타 여러 관점에서 수 많은 연구가 발표되었지만, 아직 해명되지 않은 점도 많다.

그 중 $BaTi_4O_9$ 는 일반적인 소성법에 의해 비교적 용이하게 단상으로 합성할 수 있지만, 보다 우수한 물성을 갖는 $Ba_2Ti_9O_{20}$ 는 1952년 G.H. Jonker에 의하여²⁾ 밝혀진 화합물로서 결정구조는 Monoclinic이며, 전기적인 특성

값은 4 GHz에서 유전율 K값은 40, Q값($Q=1/\tan\delta$)은 8000, 공진 주파수의 온도계수(τ_f)가 ± 2 ppm/°C 로서³⁾ 마이크로파대 유전체 세라믹으로 아주 우수한 성질을 가지고 있는 것으로 많은 연구자들에 의해서 보고되고 있다⁴⁾. 따라서 이 $Ba_2Ti_9O_{20}$ 는 자동차 전화, 핸드폰 등의 마이크로파 필터 및 위성방송 수신용의 국부발진기의 공진소자 등으로 널리 이용되고 있다.

그러나 지금까지 알려진 합성법으로는 고상반응법에 의하여 단일상의 $Ba_2Ti_9O_{20}$ 를 합성하고자 할 경우 Fig. 1⁵⁾에 나타난 바와 같이 1300°C 이상의 고온의 소성이 필요하며, 각 결정상의 조성이 상당히 근접하여 있기 때문에 조성을 제어한 단일상의 $Ba_2Ti_9O_{20}$ 를 얻는 것은 매우 어렵고, 상평형도적으로도 분해온도가 아직 명확하지 않은 실정이다⁶⁾.

일반적인 산화물에서 고용체의 생성은 유사 이온(비

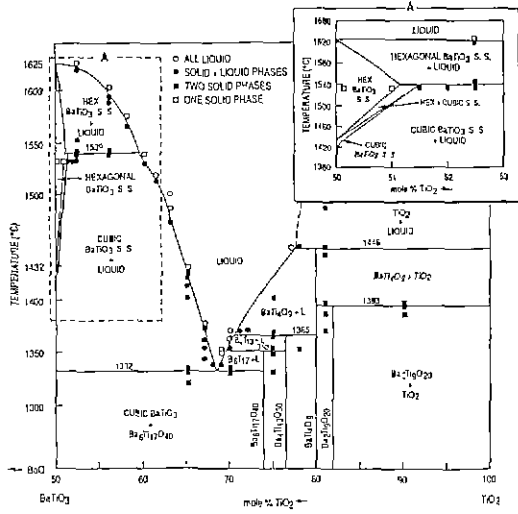


Fig. 1. BaTiO₃-TiO₂ equilibrium phase diagram. Composition is given in terms of the component BaO and TiO₂¹¹⁾.

슷한 원자가 크기)의 특징이온에 대한 전이로 이뤄져 있으므로, 화합물에서 안정성 관계는 고용체의 생성에 관계된 다른 에너지에 의해 변화한다. 따라서 어떤 화합물이 상평형도에서 사라지고 보다 안정성을 지닌 화합물이 나타난다¹²⁾.

따라서 본 연구에서는 균일 조성의 불용성 침전을 얻을 수 있으며 임도가 균일한 미립자 상태의 재료분말을 얻을 수 있는 공침합성 방법으로¹³⁾ Ba₂Ti₉O₂₀의 일부 Ti를 Zr로 치환하여 고순도이며, 미립인 단일상의 Ba₂Ti₉O₂₀를 보다 넓은 온도범위에서 재현성있게 합성하고자 하는데 그 목적을 두었고, 이때 유전특성의 관계도 고찰하였다.

2. 실험방법

2.1. 출발원료

본 연구에서 사용한 출발원료의 종류와 순도는 Table 1과 같다. 공침반응 출발원료로는 BaCl₂, TiCl₄, ZrOCl₂의 수용액을 사용하였으며 침전제와 pH 조절제로는 (NH₄)₂CO₃, NH₄OH의 혼합액을 사용하였다.

2.2. Ba₂Ti₉O₂₀ 분말의 합성

공침반응체의 혼합비는 BaCl₂, TiCl₄, ZrOCl₂ 수용액의 몰비에 따라 Table 2와 같이 4가지로 정하였다.

각각의 수용액을 조성비에 맞게 일정량을 채취하여 혼합한 후 가정용믹서기에 넣어 강력 교반시키면서 침

Table 1. Starting Materials and Grade

Material	Manufacture Co.	Grade
BaCl ₂ ·2H ₂ O	Yakuri Pure Chem. Co., Ltd.	E.P
TiCl ₄	Merck Chem. Co., Ltd.	E.P
ZrOCl ₂ ·8H ₂ O	Junsei Chem. Co., Ltd.	E.P
(NH ₄) ₂ CO ₃	Yakuri Pure Chem. Co., Ltd.	E.P
NH ₄ OH	Oriental Chem. Co., Ltd.	E.P

Table 2. Composition of Material

Sample No.	Composition (mole%)		
	BaO	TiO ₂	ZrO ₂
1	18.2	81.8	
2	18.2	79.0	2.8
3	18.2	77.0	4.8
4	18.2	75.0	6.8

전을 넣어 공침진물을 합성하였다. 이와같이 얻어진 공침물을 Cl⁻이온이 검출되지 않을 때까지 충분히 수세여과한 후 건조하였다. 이 경우 여과 수세의 정도는 AgNO₃를 사용하여 Cl⁻이온의 유무를 확인하였다. 이때 건조된 분말의 온도의 증가에 따른 열시차변화를 조사하기 위하여 DT-TG 분석을 행하였으며, 이때 DT-TG 분석과 XRD 분석 결과로부터 BaCO₃와 TiO(OH)₂의 분해가 완전히 끝나 Ba-Ti-O 화합물로 존재하는 온도인 800°C에서 2시간 동안 하소하여 주었다. 이 경우 하소된 분말내에 생성된 결정상을 알아보기 위하여 XRD 분석을 행하였다.

2.3 시편제작

앞의 2.2에 의해 준비된 하소분말을 분쇄한 후 특수 강으로 제작된 disk형 mold에 넣어 0.8 ton/cm²의 압력으로 직경 10 mm, 두께 3 mm의 시편으로 1차 성형하였다. 1차 성형한 시편의 성형성 및 소결성을 좋게하기 위하여 cold isostatic press를 사용하여 3 ton/cm²의 압력으로 2차 성형하였다.

위와 같이 제작된 시편을 950~1350°C 까지 50°C 간격으로 각각의 최고온도에서 2시간씩 소성하여 각 생성 화합물의 생성, 소멸 상황을 알아보기 위하여 XRD 분석을 행하였다. 또한 1350°C에서 소성된 시편의 열적, 전기적 특성등을 조사하였다.

3. 결과 및 고찰

3.1. DT-TG 분석

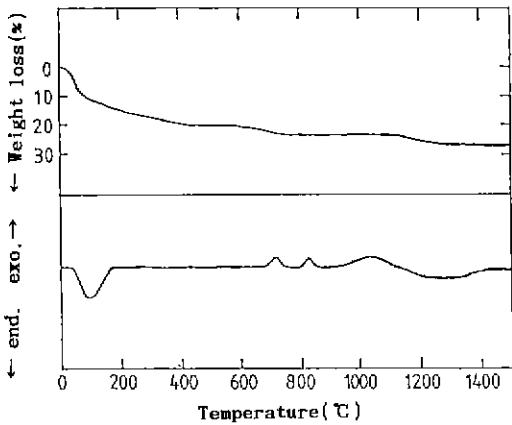


Fig. 2. DT-TG curves of $BaCO_3$ - $Ti(OH)_2$ powder prepared by coprecipitation method.

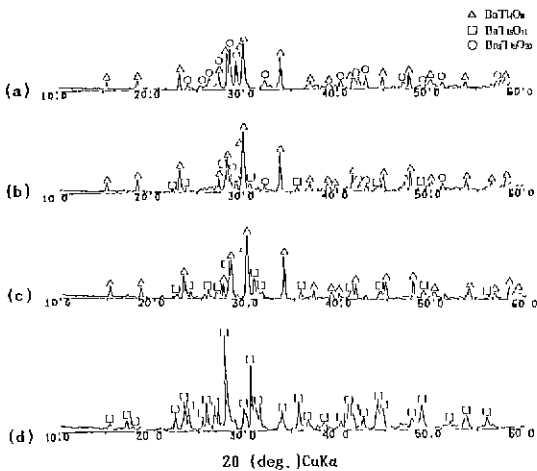


Fig. 3. X-ray diffraction patterns of $Ba_2Ti_9O_{20}$ powder prepared by coprecipitation (in air, 2 hr).

- (a) Heat treated powder at 1300°C
- (b) Heat treated powder at 1150°C
- (c) Heat treated powder at 1000°C
- (d) Heat treated powder at 800°C

mole%비가 $BaO : TiO_2 = 18.2 : 81.8$ 로 합성한 공침전물을 충분히 수세여과한 후 DT-TG 분석을 행하여 그 결과를 Fig. 2에 나타내었다. 715°C에서의 발열 peak는 $BaTi_5O_{11}$ 생성에 따른 peak이며 820°C에서의 발열 peak는 미반응 $BaCO_3$ 가 사방정계에서 입방정계의 전이에 따른 peak이다. 1000°C 부근의 폭넓은 발열 peak는 앞서 생성된 $BaTi_5O_{11}$ 이 $BaTi_4O_9$ 과 TiO_2 로의 분해에 따른 peak이며 1150°C 부근의 흡열 peak는 $Ba_2Ti_9O_{20}$ 의 생성

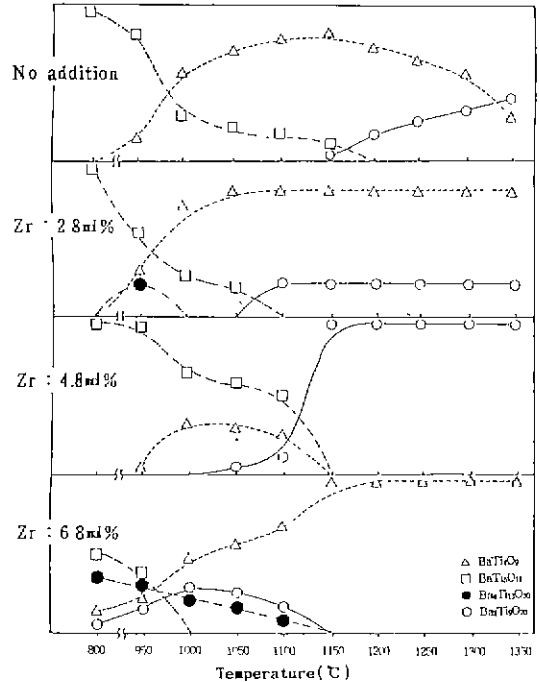


Fig. 4. Reaction between $Ti(OH)_2$, $Zr(OH)_4$ and $BaCO_3$ precipitates.

$BaTi_7O_{11}$ (230) $BaTi_5O_{11}$ (221) $Ba_2Ti_9O_{20}$ (413) $BaTi_4O_9$ (040)

에 따른 peak이다 이 경우 TG에서도 미반응 $BaCO_3$ 와의 반응으로 인한 중량 감소를 보이고 있다. 따라서 공침법에 의하여 $Ba_2Ti_9O_{20}$ 를 합성할 경우 초기에는 $BaTi_5O_{11}$ 이 생성되었다가, 이것이 분해하여 $BaTi_4O_9$ 으로된 후 1150°C 이후에서 $Ba_2Ti_9O_{20}$ 이 생성되기 시작함을 알 수 있다.

3.2. XRD 분석

Fig. 3는 ZrO_2 를 첨가하지 않고 화학양론적인 $Ba_2Ti_9O_{20}$ 공침물 조성으로 합성한 800°C, 1000°C, 1150°C 및 1300°C에서 각각 2시간 동안 소성하여 얻은 시료들의 XRD 분석 결과이다. 800°C에서 소성한 경우 $BaTi_7O_{11}$ 단일 상만이 존재하였으며, 1000°C에서 소성한 경우 $BaTi_5O_{11}$ 과 $BaTi_4O_9$ 의 두상이 공존하였고, 1150°C에서 소성한 경우는 $BaTi_7O_{11}$, $BaTi_4O_9$ 과 $Ba_2Ti_9O_{20}$ 의 세상이 공존하였으며 1300°C에서 소성한 경우는 $BaTi_4O_9$ 과 $Ba_2Ti_9O_{20}$ 의 두 상이 공존하였다. 이것은 앞의 DT-TG 분석 결과와도 잘 일치하고 있다.

Fig. 4는 4가지 조성의 공침물을 각각 800°C ~ 1350°C에서 50°C 간격으로 2시간 동안 소성한 시편의 XRD 분석 결과이다. 이 경우 세로축의 값은 분말 X-선 회절도형에

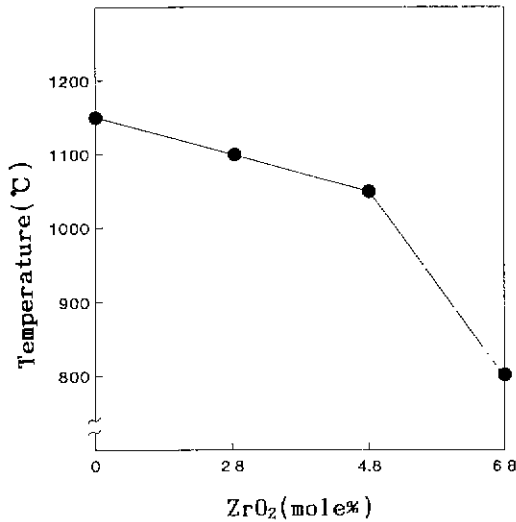


Fig. 5. Formation temperature change of $\text{Ba}_2\text{Ti}_9\text{O}_{20}$ according to ZrO_2 addition.

대한 각 화합물의 특징 회절선 [BaTi_4O_9 (230), $\text{BaTi}_5\text{O}_{11}$ (221), $\text{Ba}_2\text{Ti}_6\text{O}_{20}$ (413) 및 $\text{Ba}_1\text{Ti}_{13}\text{O}_{30}$ (040)]의 적분 강도이며 가로축은 소성온도이다. ZrO_2 가 함유되지 않은 화학양론적인 $\text{Ba}_2\text{Ti}_9\text{O}_{20}$ 조성의 공침물은 800°C 에서 $\text{BaTi}_5\text{O}_{11}$ 의 단일상만 존재하다가 소성온도 950°C 부터 BaTi_4O_9 로 분해하기 시작하여 $\text{Ba}_2\text{Ti}_6\text{O}_{20}$ 이 생성되기 시작하는 1150°C 까지는 이 두상이 공존하였다. 1150°C 부터 BaTi_4O_9 상과 미반응 TiO_2 가 반응하여 $\text{Ba}_2\text{Ti}_9\text{O}_{20}$ 이 생성되기 시작하면서 $\text{BaTi}_5\text{O}_{11}$ 상은 완전히 소멸되었으며 아울러 BaTi_4O_9 상도 점점 감소됨을 알 수 있다. 반면에 $\text{Ba}_2\text{Ti}_9\text{O}_{20}$ 상은 소성온도의 증가에 따라 거의 직선적으로 증가함을 알 수 있다. 그러나, 분말혼합법보다 조성의 제어가 용이하고 반응체 양 성분간의 상호분산이 보다 균일한 공침 반응법으로도 1350°C 에서 단일상의 $\text{Ba}_2\text{Ti}_9\text{O}_{20}$ 합성의 어려움을 알 수 있다. $\text{Ba}_2\text{Ti}_6\text{O}_{20}$ 의 화학양론적인 조성에서 TiO_2 2.8 mol%를 ZrO_2 로 치환한 공침물의 경우 800°C 에서는 $\text{BaTi}_5\text{O}_{11}$ 상만 존재하다가 950°C 에서 BaTi_4O_9 및 $\text{Ba}_1\text{Ti}_{13}\text{O}_{30}$ 으로 분해되었다. 이것은 ZrO_2 가 치환된 공침물보다 $\text{BaTi}_5\text{O}_{11}$ 은 100°C 낮은 1100°C 에서 소멸되었으며 $\text{Ba}_2\text{Ti}_9\text{O}_{20}$ 의 생성도 50°C 낮은 1100°C 에서 생성되기 시작하였다. 1100°C 이상의 온도에서는 BaTi_4O_9 과 $\text{Ba}_2\text{Ti}_9\text{O}_{20}$ 이외의 다른상의 생성없이 1350°C 까지 일정하게 유지되었다. ZrO_2 가 4.8 mol% 치환된 공침물도 800°C 에서는 단일상의 $\text{BaTi}_5\text{O}_{11}$ 상만 존재하였다. 950°C 에서는 $\text{BaTi}_5\text{O}_{11}$ 의 일부가 BaTi_4O_9 로 분해하여 두상이 존재하다 1150°C 에서는 이들 두상은 완전히 소멸되었다.

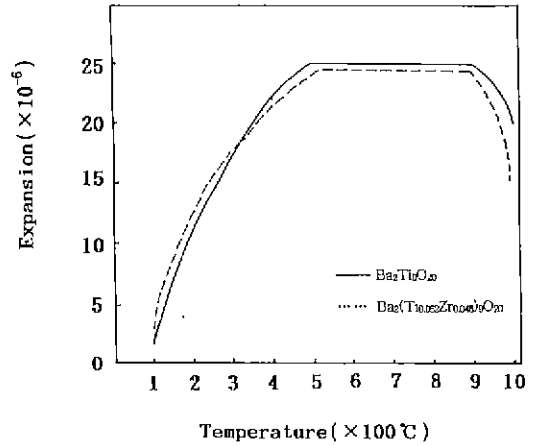


Fig. 6. Thermal expansion of $\text{Ba}_2\text{Ti}_9\text{O}_{20}$ and $\text{Ba}_2(\text{Ti}_{0.952}\text{Zr}_{0.048})\text{O}_{20}$.

$\text{Ba}_2\text{Ti}_9\text{O}_{20}$ 의 생성은 ZrO_2 가 치환되지 않은 공침물보다도 100°C 낮은 1050°C 부터 생성되기 시작하여 1150°C 에서 단일상으로 존재하였다. 그 후 $\text{Ba}_2\text{Ti}_9\text{O}_{20}$ 은 1350°C 까지 분해없이 단일상으로 존재함을 알 수 있었다.

ZrO_2 가 6.8 mol% 치환된 공침물은 800°C 에서 소성하여 XRD 분석한 결과 주결정상은 $\text{BaTi}_5\text{O}_{11}$ 이며, 그의 $\text{Ba}_1\text{Ti}_{13}\text{O}_{30}$, BaTi_4O_9 및 $\text{Ba}_2\text{Ti}_6\text{O}_{20}$ 상이 공존하였다. 이 경우 BaTi_4O_9 , $\text{Ba}_1\text{Ti}_{13}\text{O}_{30}$ 및 $\text{Ba}_2\text{Ti}_6\text{O}_{20}$ 의 생성온도는 위의 세 조성보다도 $100\sim 200^\circ\text{C}$ 정도 낮은 온도에서 생성됨을 알 수 있었다. 그러나 이 중 $\text{BaTi}_5\text{O}_{11}$ 은 1000°C 에서 소멸되고 $\text{Ba}_2\text{Ti}_6\text{O}_{20}$ 및 $\text{Ba}_1\text{Ti}_{13}\text{O}_{30}$ 은 1150°C 에서 소멸되어 1200°C 이후에서는 BaTi_4O_9 의 단일상만이 존재함을 알 수 있다. 이것으로부터 화학양론적인 $\text{Ba}_2\text{Ti}_9\text{O}_{20}$ 조성 중 Ti의 일부를 Ti이온보다 이온반경이 큰 Zr로 치환할 경우 ZrO_2 가 광화제로 작용하여 보다 낮은 온도에서 $\text{Ba}_2\text{Ti}_9\text{O}_{20}$ 의 결정을 생성시킬 수 있으며, 또한 적당량(4.8 mol%)을 치환하였을 경우는 단일상의 $\text{Ba}_2\text{Ti}_9\text{O}_{20}$ 을 1150°C 에서 1350°C 까지 넓은 온도범위에 걸쳐서 분해없이 합성할 수가 있었다. 이는 monoclinic 구조의 $\text{Ba}_2\text{Ti}_9\text{O}_{20}$ 결정구조에 Ti이온 대신 이온반경이 큰 Zr이온이 적당량 치환되므로서 $\text{Ba}_2\text{Ti}_9\text{O}_{20}$ 의 구조를 안정시킬 수 있기 때문으로 생각된다¹⁴⁾. 따라서 본 연구에서는 $\text{Ba}_2\text{Ti}_9\text{O}_{20}$ 의 조성에 TiO_2 의 4.8 mol%를 ZrO_2 로 치환하므로서 소결된 시편(1300°C 이상)내에 단일상의 $\text{Ba}_2\text{Ti}_9\text{O}_{20}$ 만이 존재할 수 있는 분말을 합성할 수 있었다.

Fig. 5은 화학양론적인 $\text{Ba}_2\text{Ti}_9\text{O}_{20}$ 의 조성 중 TiO_2 의 일부를 ZrO_2 로 치환하였을 경우 ZrO_2 의 치환량에 따른 $\text{Ba}_2\text{Ti}_9\text{O}_{20}$ 의 생성개시온도를 나타낸 것이다. 그 결과,

Table 3. Specific Heat of Ba₂(Ti_{1-x}Zr_x)₉O₂₀

Temperature(°C) Composition	300	700	1100
Ba ₂ (Ti _{0.952} Zr _{0.048}) ₉ O ₂₀	0.14065	0.18515	0.19127
Ba ₂ (Ti _{0.932} Zr _{0.068}) ₉ O ₂₀	0.14674	0.19128	0.20000

Table 4. Conductivity of Ba₂(Ti_{1-x}Zr_x)₉O₂₀

Temperature(°C) Composition	300	700	1100
Ba ₂ (Ti _{0.952} Zr _{0.048}) ₉ O ₂₀	1.54653	1.81900	1.93085
Ba ₂ (Ti _{0.932} Zr _{0.068}) ₉ O ₂₀	1.80127	2.14621	2.28514

ZrO₂의 치환량이 증가함에 따라서 Ba₂Ti₉O₂₀의 생성개시온도도 직선적으로 감소함을 알 수 있다. 이것으로부터 ZrO₂는 Ba₂Ti₉O₂₀ 생성의 광화제로서 작용함을 알 수 있다.

3.3. 물성 측정

1350°C 에서 2시간 동안 소성후 단일상의 Ba₂Ti₉O₂₀만이 존재했던 sample no.3 조성의 공침전물의 소성온도에 따른 열팽창 결과를 Fig.6에 나타내었다. 그 결과 Ba₂Ti₉O₂₀의 열팽창은 100°C 부터 500°C 까지는 거의 일정한 길이로 팽창을 하다가 500°C -900°C 까지는 거의 변화가 없음을 알 수 있었고, 그 후 900°C 이후에서는 급격한 수축을 보여주고 있다.

1350°C 에서 소성한 시편을 XRD 분석시 단일상으로 나타나는 ZrO₂가 4.8 mol% 및 6.8 mol% 치환된 시편의 비열과 열전도도의 측정결과를 Table 3과 Table 4에 각각 나타내었다. XRD 분석시 Ba₂Ti₉O₂₀상만 존재하는 ZrO₂가 4.8 mol% 치환된 시편의 300°C 에서의 비열값은 0.14015로 BaTi₄O₉상으로 이루어진 ZrO₂가 6.8 mol% 치환된 시편보다 다소 작음을 알 수 있다. 또한 이들의 열전도도도 300°C 에서 각각 1.54653과 1.80127로서 Al₂O₃나 AlN보다도 더 높아 열적인 면에서도 마이크로파에서의 유전재료로서의 이용이 유용하다고 생각된다.

3.4. 유전 특성

1350°C 에서 소성한 각 조성별 시편을 XRD 분석시 단일상의 Ba₂Ti₉O₂₀와 BaTi₄O₉으로 이루어져 있는 ZrO₂가 4.8 mol% 및 6.8 mol% 치환된 시편을 Network Analyzer를 이용하여 4.5 GHz에서 측정된 유전율 및 Q값을 Table 5에 나타내었다. 그 결과 ZrO₂가 4.8 mol% 치환되어 Ba₂Ti₉O₂₀가 단일상으로 존재하는 시편의 경우 유전율은 35, Q값은 4600 및 F·Q값은 20700이다. 또한

Table 5. Dielectric Properties of Ba₂(Ti_{1-x}Zr_x)₉O₂₀

Composition	F ₀ (GHz)	K	Q	F·Q
Ba ₂ (Ti _{0.932} Zr _{0.068}) ₉ O ₂₀	4.5	35	4600	20700
Ba ₂ (Ti _{0.912} Zr _{0.088}) ₉ O ₂₀	4.5	34	4200	18966

단일상의 BaTi₄O₉이 존재하는 ZrO₂가 6.8 mol% 치환된 시편의 유전율은 34, Q값은 4200 및 F·Q값은 18900이다.

4. 결 론

본 연구는 공침합성법으로 안정제인 ZrO₂의 첨가량 변화에 따른 고순도이며, 미립의 단일상 Ba₂Ti₉O₂₀의 생성관계를 조사한 결과 다음과 같은 결과를 얻었다.

(1) TiO₂ 대신에 치환된 ZrO₂의 양이 증가함에 따라 Ba₂Ti₉O₂₀상의 생성온도가 거의 직선적으로 낮아짐을 알 수 있었다

(2) 4.8 mol%의 ZrO₂가 치환된 경우 1150°C 에서부터 1350°C 까지 넓은 온도범위에 걸쳐 단일상의 Ba₂Ti₉O₂₀를 합성될 수 있었다.

(3) 2.8 mol%의 ZrO₂가 치환된 경우 1150°C 부터 BaTi₄O₉과 Ba₂Ti₉O₂₀의 두 상이 공존하였으며 6.8 mol% 치환된 경우는 1150°C 부터 단일상의 BaTi₄O₉만이 존재하였다.

(4) 단일상의 Ba₂Ti₉O₂₀이 존재하는 시편의 열팽창 계수는 100~500°C 에서 0.58×10⁻⁶/°C 의 값을 나타내었다. 또한 전기적 특성값은 4.5 GHz에서 유전율값은 35, Q 값은 4600, Q·F값은 20700으로 마이크로파에서의 유전체 료로 사용가능한 재료이다.

감사의 글

이 논문은 1992년도 교육부 지원 한국학술진흥재단의 자유공모(지방대 학육성) 과제 학술연구조성비에 의하여 수행된 것입니다. 이에 감사사를 드립니다.

REFERENCES

1. T. Negas, G. Ycager, S. Bell and R. Amren, "Chemistry and Properties of Temperature Compensated Microwave Dielectrics," *NIST Special Publication*, **804**, 21-34 (1991).
2. H.M. O'Bryan and J. Thomson, "Ba₂Ti₉O₂₀ Phase Equilibria," *J. Am Ceram Soc.*, **66**(1), 66-68 (1983).
3. T. Negas, R.S. Roth, H.S. Parker and D. Minor, "Subsolidus Phase Relation in the BaTiO₃-TiO₂ System," *J. Solid State Chem.*, **9**(3), 297-307 (1974).

4. K.W. Kerby and B.A. Wechsler, "Phase Relation in the Barium Titanite-Titanium Oxide System," *J Am Ceram. Soc.*, **74**(8), 1841-47 (1991).
5. G.H. Jonker, "Keramische Materialen Voor de Electro-technick," *Chem. Weekblad*, **49**(49), 923-36 (1953).
6. H.M. O'Bryan and J Thomson, "A New BaO-TiO₂ Compound with Temperature-Stable High Permittivity and Low Microwave Loss," *J. Am Ceram Soc.*, **51**(10), 450-453 (1974).
7. J.K. Plourde, D.F. Linn, H.M. O'Bryan and J. Thomson, "Ba₂Ti₉O₂₀ as Microwave Dielectric Resonator," *J. Am. Ceram. Soc.*, **58**(9-10), 450-453 (1975).
8. Naumann, J., Plotner, W. and Stellenberger, K., "Dielektrische Eigenschaften Von Zusammensetzungen im System BaO-TiO₂," *Hermsdorfer Technische Mitteilungen*, Heft 30, 947-950 (1970).
9. Deepak Singh, D.K. Chatterjee and E Bhagiratha Rao, "A Stabilised X-band MIC Gunn Oscillator using a Dielectric Resonator." *INT. J. Electronics*, **51**(3), 263-268 (1986).
10. S. Nomura, K. Tomaya, K. Kaneta, "Effect of Mn Doping on the Dielectric Properties of Ba₂Ti₉O₂₀ Ceramics at Microwave Frequency," *Japanese J Appl. Physics*, **22**(7), 1125-1128 (1983).
11. G.B. Morgan and G.O. Obe, "MIC Impatt Diode Oscillator Stabilised by Temperature Compensated Dielectric Resonator" *Electronics Letters* *22nd January*, **17**(2), 72-74 (1981).
12. G.H. Jonker and W. Kwestroo, "The Ternary System BaO-TiO₂-SnO₂ and BaO-TiO₂-ZrO₂," *J. Am. Ceram Soc*, **41**(10), 390-394 (1958).
13. Teruicho Kubo et al., "酸化チタンと炭酸バリウムとの固相反應," *工業化學紙*, **70**(6), 847-853 (1967).
14. Michelle M. Hedges, "The Ba(Ti, Zr)O₂-(Zr, Ti)O₂ Field in the Phase System BaO-TiO₂-ZrO₂," *J. Am Ceram Soc.*, **74**(9), 2318-2320 (1991).